



چهارمین کنفرانس شبکه‌های توزیع نیرو

مقایسه کنترورهای الکترونیک و الکترومغناطیسی

سید مهدی عراقی - عیسی اوزخانی - زینتالسادات حاجی سید جوادی
شرکت کنترورسازی ایران

چکیده

تسخیر باگاههای مکانیکی و الکترومغناطیسی و الکتریکی توسط تکنولوژی مهاجم الکترونیکی صنعت کنترورسازی را نیز در مقابل سوال بزرگی فوار داده است هرچند که مدها است کنترورهای الکترونیکی توسط چند شرکت ساخته و به بازار عرضه شده اند اما مصرف کنندگان آن استقبال چنانی بعمل نیاورده اند فلان مقایسه کنترورهای الکترونیک و الکترومغناطیسی (فراپس) از جنبه‌های فنی، اقتصادی و کاربردی برای دست اندر کاران صنعت برق کشور ضروری می‌نماید. در این مقاله سعی شده است که مقایسه‌های فوق الذکر با رعایت اصول بی طرفی صورت گیرد هرچند که باراصلی نتیجه گیری بعده خواهد گشته که مقاله محول خواهد شد.

مقدمه

ساخت کنترورهای برق بصورت تولید وسیع در سال ۱۸۹۰ در اروپا شروع گردید. این کنترورها بر اساس نظریه کالیلیس فراپس (در سال ۱۸۸۸) ساخته می‌شدند. واحد اصلی این کنترورها را یک موتور eddy current تشکیل می‌داد و پیشرفت تکنولوژی نیز تغییر اساسی در این اصل بوجود نیاورد. اما ساخت کنترورهای الکترونیک از اواخر دهه هشتاد شروع و با پیشرفت تکنولوژی، برخلاف نوع الکترومغناطیسی، شبوهای گوناگونی در آن بکار رفته و اصول مختلفی برای اندازه گیری ولتاژ، جریان و $\cos\phi$ که ضرب آنها و حتی شبوهای مایل بکار گرفته شده اند که در این مقاله ضمن بیان ساختهای شبوهای عملکرد آنها مقایسه ای نیز در این ارتباط صورت خواهد یافرست.

۱- ماموریت کنترور در صنعت برق

ماموریت کنترور با توجه به افزایش نیازهای اطلاعاتی صنعت برق نسبت به دهه آخر قرن گلشته (اختراع کنترورهای

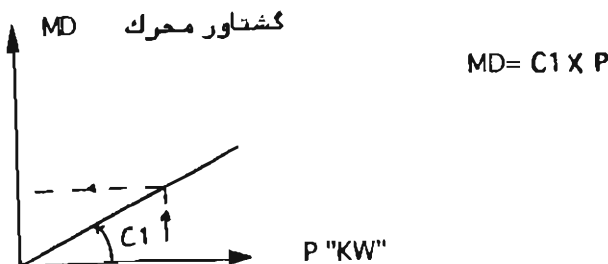
صنعتی) روز به روز افزایش یافته و پیش بینی میگردد که پاره ای از وظایف اندازه گیرهای دیگر کارخانجات و منازل از نبیل کنترلهای آب و گاز و نبیل به آن محول گردد .

ساموریت کنترلهای اولیه اندازه گیری ولتاژ ، جریان ، ضرب بار و غاییش حاصلضرب آنها در یک غایشگر مکانیکی بود . تا جند سال بعد نیز پیشرفت تکنولوژی درابن قسمت صرفا منجر به تولید کنترلهایی بادققت و پایداری بیشتر در مقابله تغییرات فیزیکی از قبیل درجه حرارت ، ولتاژ ، فرکانس ، و هارمونیک های بالاتر گردید . اما از اوایل قرن حاضر ساموریت های پیچیده تر دیگری مانند کنترل دیماند ، اعمال تعریفه های جدید ، دریافت امواج ریبل دیافراگم و ارسال PLC ، دریافت و ارسال امواج رادیوئی و ... به کنترل محول گردید . برای انجام این رسالت ها قطعات مکانیکی و الکترومکانیکی جدیدی به آن ملحظ گردید اما بدلیل توقعات روز افزون و پیچیده ، قطعات فوق الذکر توان انجام خواسته های جدید را نداشتند و یا به شدت گران قام میشدند و از طرفی المانهای الکترونیک با تواناییهای زیاد ساخته و به بازار عرضه شدند ابتدا به نظر میرسید که تنها راه انجام ساموریت های اخیر استفاده از کنترل بصورت تمام الکترونیکی باشد به گونه ای که دست اندک کاران این صنعت را ترجیح دادند به جای ادامه تکنولوژی قبل از این المانها برای انجام ساموریت های جدید در کنترل استفاده نمایند تا قادر به برقراری ناس کنترل با سیستم های هوشمند و دریافت و ارسال اطلاعات گردند اما از آنجاییکه عنده ای اصرار بر حفظ پایه بصورت الکترومغناطیسی داشتند بخش های فرائست از راه دور (PLC و رادیو سویچ) و همچنین حافظه های اطلاعاتی را بصورت برد های مستقل الکترونیکی در کنترلهای الکترومغناطیسی جای دادند و بدین ترتیب اساس کار کنترل را بصورت گذشته حفظ نمودند .

۲- شرح ساختمان و عملکرد کنترلهای الکترومغناطیسی (فواریس) و الکترونیکی

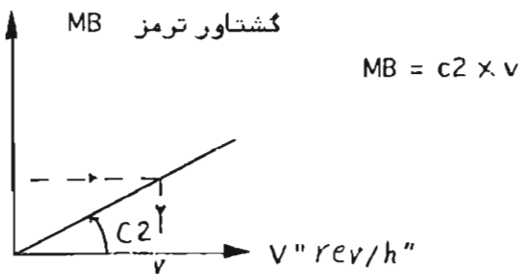
۱-۲- روش محاسبه انرژی در کنترلهای الکترومغناطیسی

دستگاه محاسبه انرژی یا همان کنترل مغناطیسی شامل یک موتور میباشد که عامل سرعک برای چرخیدن دیسک به دور محور خود است . گشتاور حاصل از این عامل با توان $P \text{ KW}$ مصرفی مطابق شکل " ۱-۱-۲ " متناسب خواهد بود . بعبارت دیگر توان مصرفی سبب اعمال گشتاور سرعکی به دیسک گردیده و آنرا به حرکت در می آورد .



شکل ۱-۱-۲ : معنی تغییرات گشتاور محرك نسبت به توان

عامل باز دارنده حرکت موتور، ترمز کنترل یا همان مغناطیسی دائم آن است که گشتاوری در خلاف جهت حرکت دیسک بسان اعمال نموده و از شتاب گرفتن آن جلوگیری می نماید . مطابق شکل " ۱-۱-۲ " این گشتاور با افزایش سرعت دیسک افزوده میگردد تا زمانیکه با گشتاور محرك برابر شود . در این زمان دیسک با سرعت ثابت به حرکت خود ادامه خواهد داد .



شکل ۲-۱-۲ : منحنی تغییرات گشتاور ترمز نسبت به سرعت دیسک

$$M_D = M_B \Rightarrow C_1 \times P = C_2 \times V \Rightarrow V = \frac{C_1}{C_2} \times P = K \times P \Rightarrow V = K \times P$$

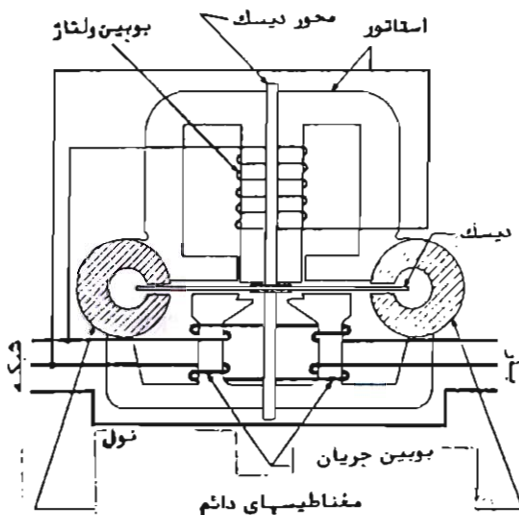
ملاحظه میگردد که توان مستقیماً با سرعت دیسک متناسب میباشد. از آنجاییکه V بر حسب "rev/h" و P بر حسب "kW" میباشد از رابطه $V = kxP$ خواهیم داشت $V = kxkwh \times rev/h = kxkw \times rev = kxkw$ همان انرژی مصرفی در واحد زمان یا

هران انرژی مصرفی میباشد لذا تعداد دور دیسک دقیقاً متناسب با انرژی مصرف شده خواهد بود.

$$N = k \times kW, \quad N =$$

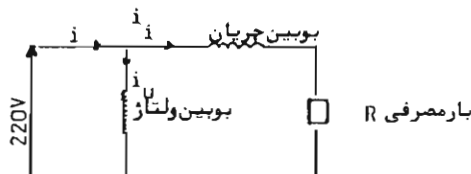
ابن نعداد دورها توسط یک شمارنده مکانیکی اندازه گیری شده و بعنوان انرژی مصرفی نشان داده میشود. نحوه بوده امدن این گشتاور محرک متناسب با توان مصرفی با همان θ ، در ادامه مورد بحث قرار میگردد.

مونور کنتور خود متشکل است از یک استاتور که شامل بوبین جریان و بوبین ولتاژ میباشد و یک رونور که همان دیسک کنتور است . موقعیت فیزیکی این بوبین ها و دیسک کنتور نسبت به یکدیگر و شیوه اتصال ولتاژ و جریان شکله به این مجموعه در شکل "۲-۱-۳" نشان داده شده است .



شکل ۲-۱-۳ : دیاگرام داخلی کنتور و نحوه اتصال آن به شبکه

میتوانیم این اتصال را بـشکل ساده شده " ۴-۱-۲ " داشته باشیم .



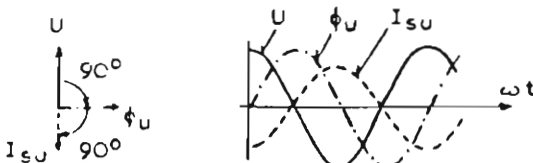
شکل ۴-۱-۲ : دیاگرام ساده اتصال کنتور به شبکه

بوبین ولتاژ منشکل است از سیم پیچی با نعداد دور بسیار زیاد که به دور هسته ای از جنس آهن فرم با پسماند مغناطیسی بسیار کم پیچیده شده است . این مجموعه تشکیل یک سلف را می دهد . بر اساس رابطه $\frac{d\phi}{dt} = L \cdot \frac{dI}{dt}$ ، جریان این بوبین نسبت به ولتاژ شبکه 90° تأخیر فاز خواهد داشت از آنجاییکه فلو بر اساس رابطه $Ni = \frac{\phi}{\theta}$ با جریان هفقار میباشد .

بنابراین اندازه فلو متناسب با اندازه ولتاژ شبکه بوده و نسبت به آن 90° تأخیر فاز دارد .

با توجه به رابطه $\frac{d\phi}{dt} = N \cdot \frac{dU}{dt}$ که در آن V نیروی محرکه القابی حاصل از تغییرات فلو میباشد این نیرو و جریانهای ادی ناشی از آن بر روی دیسک ، با فلوی $\frac{\phi}{\theta}$ متناسب بوده و نسبت به آن 90° تأخیر فاز دارد .

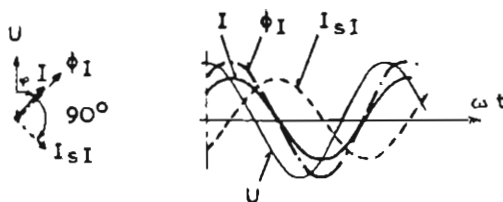
شکل " ۴-۱-۵ " نشان دهنده این مطالب میباشد .



(جریانهای ادی ناشی از تغییرات فلوی بوبین ولتاژ : $U_{S1} = C_{S1} \cdot \frac{d\phi}{dt}$ ، $I_{S1} = K_{S1} \cdot \frac{d\phi}{dt}$)

شکل ۴-۱-۲ : دیاگرام بوداری و معنی های فلو و جریان ادی بوبین ولتاژ در مقایسه با ولتاژ شبکه

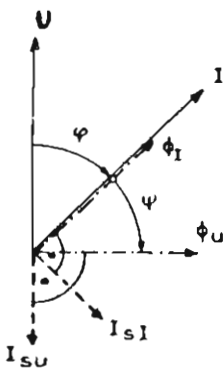
بوبین جریان سیم پیچی است با تعداد دور بسیار کم که بطری سری با بار مصرفی منصل میگردد لذا جریان آن بسته به جریان بار مصرفی نسبت به ولتاژ شبکه به اندازه 90° اختلاف فاز خواهد داشت . در صورتیکه بار اکتیو باند 0° در حالت بار راکتیو 90° است . فلوی $\frac{\phi}{\theta}$ با جریان شبکه با توجه به رابطه $Ni = \frac{\phi}{\theta}$ هفقار و متناسب با آن میباشد . جریانهای ادی ناشی از فلوی بوبین جریان بر روی دیسک با $\frac{\phi}{\theta}$ متناسب بوده و نسبت به آن 90° تأخیر فاز دارد . این مطالب در شکل " ۴-۱-۶ " قابل مشاهده است .



(جریانهای ادی ناشی از تغییرات فلزی بین جریان I_sI ، I و $\phi_I = C_I \times I$)

شکل ۲-۶ : دیاگرام برداری و منحنی های فلو و جریان ادی بین جریان در مقایسه با جریان شبکه

مجموعه این روابط فازی در شکل "۲-۷" دیده می شود.



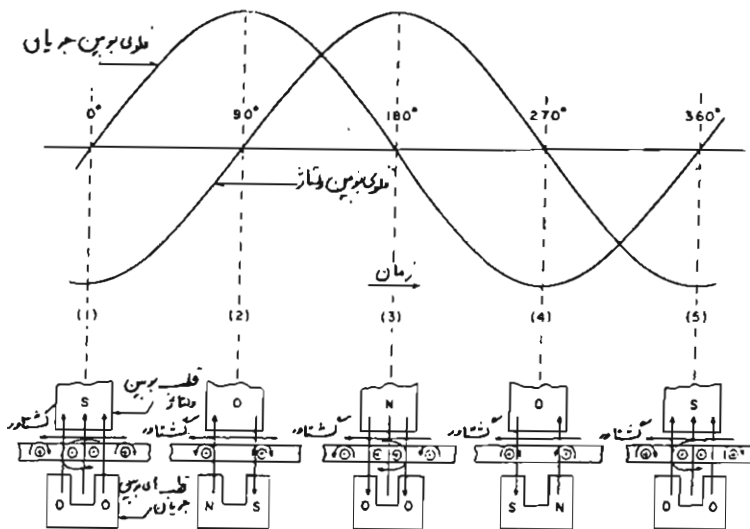
شکل ۷-۲ : مجموعه روابط فازی بین های ولتاژ و جریان

قبل از بررسی اثر این فلوا بر روی دیسک و ایجاد گشتاور حرکتی در آن لازم است نکته ای درباره علت بوجود آمدن این گشتاور بیان گردد. می دانیم که به يك هادی حامل جریان در يك میدان مغناطیسی نیروی اعمال میگردد که اندازه این نیرو از رابطه $F = B \cdot I \cdot A$ بدست می آید. اگر $B = B$ باشد خواهیم داشت : $A \cdot \phi = I_sI$ گشتاور ناشی از این اعمال نیز که سبب گشتن هادی به دور محور خود میگردد برابر است با : $M = F \cdot Rad$. لذا داریم :

$$M = \frac{1}{A} \cdot Rad \cdot \phi \cdot i = c \cdot \phi \cdot i \quad M = C \cdot \phi \cdot i$$

این رابطه توجیه کننده علت بوجود آمدن گشتاورهای حرکتی موثر بر دیسک در ادامه بحث خواهد بود.

همگام با بار اکنیو مصرف کنند، نوان باشد جریان آن و در نتیجه جریان بین جریان هم فاز با ولتاژ شبکه بوده و فلوی ناشی از آن نیز با ولتاژ هم میباشد. لذا این فلو با فلوی بین جریان U_sU اختلاف فاز 90° نقدم فاز دارد که این امر در شکل "۲-۱" ملاحظه میگردد .



شکل ۱-۸: منحنی های فلوی بینیں جریان و بینیں ولناز و نحوه اثر آنها بر دیسک

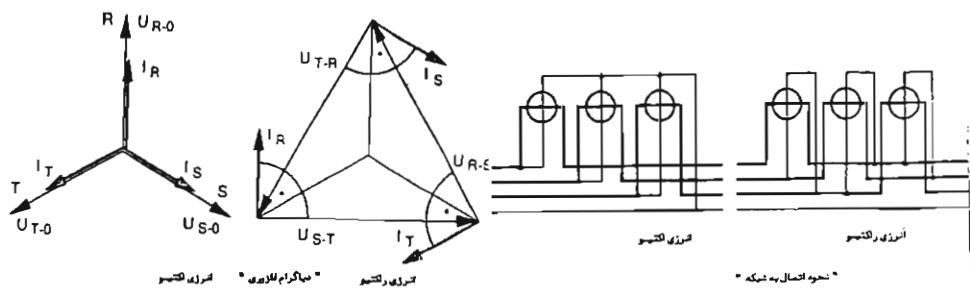
نحوه اثر این نفووها بر روی دیسک کنتور در ۴ نقطه منحنی که مطابق با ۴ زمان متفاوت و اساسی کارکنتور میباشد بصورت زیر تشریح میگردد:

در زمانهای ۱ و ۳ فلوی ناشی از بینیں جریان صفر میباشد در حالیکه تغییرات آن یعنی $\frac{d\phi}{dt}$ دارای ماقریم مقدار خود است. این تغییرات سبب ایجاد نیروی محرکه القایی در مقابل قطب های هسته بینیں بر روی دیسک به عنوان یک هادی میگردد. نیروی محرکه القایی نیز سبب تولید جریانهای ادی بر روی دیسک و فلوی بصورت عمود بر دیسک خواهد شد. جهت این فلوها مطابق لز بگونه ای است که با عامل بوجود آورتنده خود یعنی فلوی بینیں جریان مخالفت میکند (در زمان ۱ در جهت کاهش فلو و در زمان ۳ در جهت افزایش آن) این لحظه فلوی بینیں ولناز در پیک منفی و یا مثبت خود بوده و دارای تغییرات صفر است لذا فلوی ثابتی در این لحظه در آن جریان دارد که سبب ایجاد قطب آهنگرانی در مجاورت دیسک میگردد. اثر فلوی ثابت بینیں ولناز بر فلوی های ناشی از جریانهای ادی جریان دارد که در سمت راست دیسک تجمع فلوو در سمت چپ آن پراکندگی فلو وجود دارد.

حرکت دیسک در جهتی است که از تجمع فلو بکاهد بنابراین در خلاف جهت حرکت عقریه های ساعت حرکت مبناید گشتاور محرکی که سبب این حرکت میگردد ناشی از اثر فلوهای بینیں ولناز بر جریانهای ادی حاصل از بینیں جریان بر روی دیسک میباشد.

نحوه ایجاد گشتاور حرکتی در دیسک در زمانهای ۲ و ۴ نیز مشابه Hallتهای ۱ و ۳ است با این تفاوت که در این زمانهای بینیں ولناز دارای جریان صفر و تغییرات ماقریم $\frac{d\phi}{dt}$ بوده و بینیں جریان حاوی فلوی ثابت و قطب آهنگرانی میباشد. نحوه اثر این فلوها بر دیسک بگونه ای خواهد بود که جهت حرکت آن همچنان در خلاف جهت حرکت عقریه های ساعت باشد.

از اینجاییکه دریارهای سلفی $\theta = 90^\circ$ میباشد، برای اندازه گیری انرژی راکتیو در کارخالجات و مراکز منعنه که بار مصرفی بیشتر بصورت سلف یا اندوکتانس است، بینیں های ولناز و جریان کنتور بگونه ای به یکدیگر و به شبکه متصل گردیده اند که کنتور قادر خواهد بود $V_L \sin \theta$ را اندازه گیری نماید. دیاگرام فازو ری و همچنین نحوه اتصال کنتورهای اکتو و راکتیو به شبکه بصورت مقایسه ای در شکل "۱-۹" نشان داده شده است.



شکل ۲-۱-۹ : دیاگرام فازوری و نحوه اتصال کنتورهای راکتو شیکمے

کنتورهای الکترو مغناطیسی تاکون در شکلها و اندازه های گوناگون و در کلاس های دقت ۰.۵, ۰.۲, ۰.۱ ساخته در اختیار مصرف کنند های داخلی و خارجی قرار گرفته است.

۲-۲- روش محاسبه انرژی در کنتورهای الکترونیکی

- کنتور الکترونیکی یک محاسب انرژی با استفاده از مدارهای الکترونیکی است بدین معنی که در آن حاصل ضرب ولتاژ و جریان توسط یک مدار الکترونیکی بدست آمده و سپس توسط یک واسطه به واحد نشان دهنده داده می شود. از آنجایی که قسمت ضرب کننده یک مدار الکترونیکی مبایشید ، ولتاژ و جریان ورودی از شبکه قبل از ورود به آن باید از یک تضعیف کننده عبور داده شود. این تضعیف کننده در مدار ولتاژ میتواند از نوع ترانزیستور کاهنده ولتاژ و یا تقسیم کننده ولتاژ از نوع مقاومتی و یا خازنی باشد . (تقسیم کننده مقاومتی یعنی افت نوان بالایی که نسبت به انواع دیگر دارد معمولاً مورد استفاده قرار نمیگیرد) این ولتاژ تضعیف شده پس از ثبت عبوران گذشته المانهای الکترونیکی نیز مورد استفاده قرار میگیرد (Power Supply) تضعیف کننده جریان نیز میتواند از نوع شنت و یا ترانزیستور کاهنده باشد. تنها در کنتورهای اثرهال بعلت نوع سیستم ضرب کننده نیازی به کاهش جریان شبکه برای اعمال به المان اثرهال وجود ندارد. پس از تبدیل دامنه ولتاژ و جریان به حد مورد نیاز قسمت ضرب کننده ، این قسمت قادر خواهد بود به ۲ طریق سیگنالی dc مناسب با حاصل ضرب ولتاژ و جریان تولید کند.

(MSM: Mark Space Amplitude modulation)
(Direct field sensor)

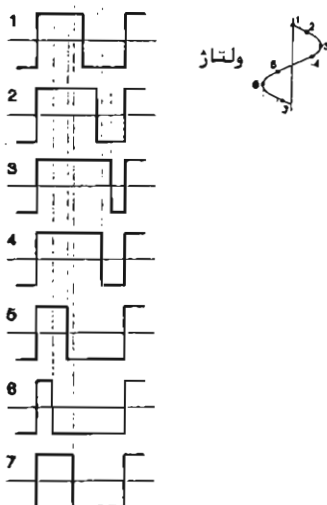
الف- روش

ب- استفاده از سنسور اثربینان

الف- روش Mark space Amplitude modulation :

در این روش سیگنال جریان توسط پالس هایی که عرض آنها متناسب با دامنه ولتاژ است مولوه می شود. در مولواسیون عرض پالس توسط دامنه ولتاژ در صد duration با مقدار دامنه ولتاژ تنظیم میگردد. هنگامیکه دامنه ولتاژ صفر است عرض قسمت مثبت و منفی پالس یکسان است.

در لحظاتی که ولتاژ دارای دامنه مثبت باشد عرض قسمت مثبت آن بیشتر از قسمت منفی و هنگامیکه ولتاژ دارای دامنه منفی باشد . عکس این حالت خواهد بود.



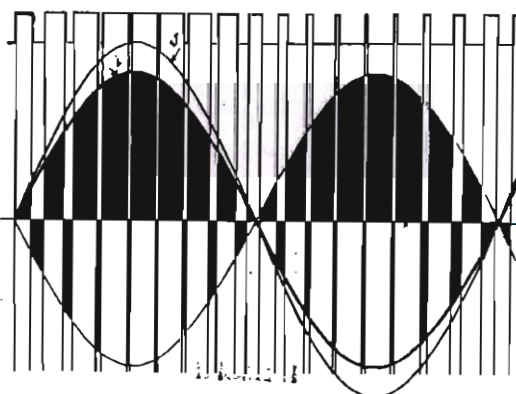
در شکل "۲-۲-۷" برای مقاطعی از ولتاژ این تغییر duration پالس نشان داده شده است . قابل ذکر است که پریود پالسهای مذکور بین 200 ns تا 500 ns است . به پالس های ایجاد شده باین طریق Mark - Space - signal میگویند .

پالس های مدوله شده توسط ولتاژ ، حال خود مدوله کننده سیگنال جریان خواهند بود . نحوه این مدولاسیون در شکلهای ۲-۲-۲ و ۲-۲-۳ برای زوایای فاز 0° و 90° نشان داده شده است .

شکل ۱-۲-۲: تغییر duration پالس به ازای تغییرات ولتاژ

MARK - SPACE - SIGNAL

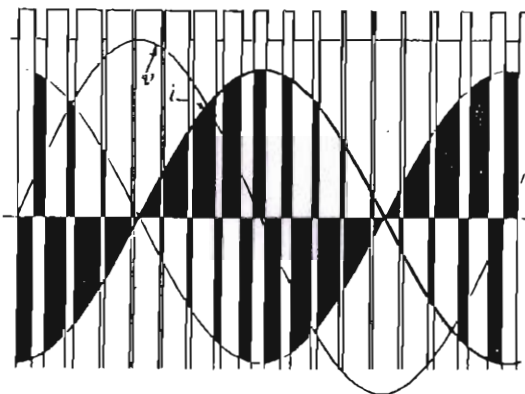
$$\varphi = 0^\circ, \cos \varphi = 1$$



شکل ۲-۲-۲ : مدولاسیون جریان توسط سیگنال MARK SPACE ناشی از ولتاژ در $\varphi = 0^\circ$

MARK - SPACE - SIGNAL

$$\varphi = 90^\circ, \cos \varphi = 0$$



شکل ۲-۲-۳: مدولاسیون جریان توسط سیگنال MARK SPACE ناشی از ولتاژ در $\varphi = 90^\circ$

حاصل این دو مدولاسیون سیگنالی است که در آن عرض سیگنال مناسب با دامنه ولتاژ و دامنه آن مناسب با دامنه جریان

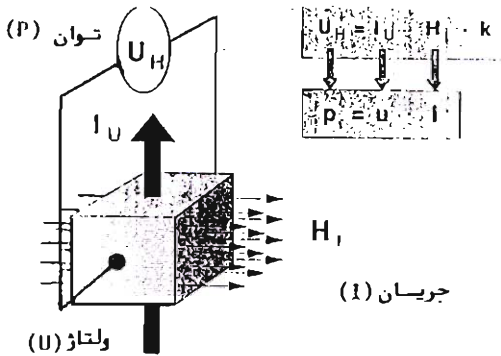
خواهد بود و با توجه به فرمول $P = \int_{t=0}^T v(t) I(t) dt$ ، انتگرال سیگنال مزبور همان $I(t) = v(t) \sin(\omega t)$ است و حاصل سیگنال dC است که مناسب با توان "P" می‌باشد.

از انجامیکه سیگنالهای ولتاژ و جریان در هر لحظه اختلاف فاز خود را حفظ می‌کند ، این حاصل ضرب لحظه‌ای نسبت زاویه فاز در محاسبه توان که همان $\varphi = \cos^{-1}(I/P)$ است را نیز در برخواهد داشت .

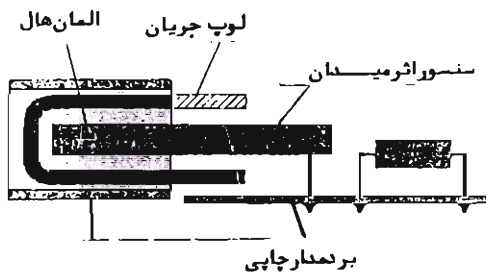
همانکونه که در شکل ۲-۲-۳ مشاهده می‌گردد هنگامیکه بین ولتاژ و جریان اختلاف فازی به اندازه 90° وجود دارد ، یعنی در کنتورهای راکتبو ، حاصل انتگرال برابر صفر خواهد بود. لذا قبل از انجام عمل مدولاسیون بر روی این دو سیگنال نیاز است که بکی از آنها به اندازه 90° شبیت داده شود بنابراین کنتور راکتبو شامل فستی برای شبیت فاز 90° نیز خواهد بود.

ب- روش استفاده از سنسور اثر میدان "Direct field sensor"

روز دیگر بدست آوردن حاصل ضرب ولتاژ در جریان استفاده از سنسور مذکور است که با استفاده از اثرهال کار می‌کند. ولتاژ نونه برداری شده به دو سر المان هال این سنسور اعمال گردیده و سبب عبور جریان از این المان می‌شود. در این هنگام میدان مغناطیسی حاصل از جریان شبکه که در اطراف این المان وجود دارد، سبب انحراف مسیر عبور جریان و در نتیجه ایجاد اختلاف پتانسیل همان ولتاژی است که مناسب با حاصل ضرب ولتاژ در جریان است که خود مناسب با توان خواهد بود. شکل "۲-۲-۴" نشان دهنده طرز کار المان اثرهال و شکل "۲-۲-۵" شامل نحوه اتصال این المان در مدار است .



شکل ۲-۴ : طرز کار المان اثرهلال



شکل ۲-۵ : نحوه اتصال المان اثرهلال

ملاحظه میگردد که خروجی حاصل از قسمت ضرب کننده در هدو روشن ولتاژ U_L است که متناسب با توان مبایسند. هنگامیکه اندازه کیری توان در سیستم سه فاز صورت می پذیرد توان کل برابر حاصل جمع این ولتاژهای نیمه مثبت از هر فاز خواهد بود. بساخابن در سیستم سه فاز قسمتی بنام جمع کننده نیز نیاز میباشد.

ولتاژ U_L بدست آمده بدین طریق در طبقه بعدی کنتور که مبدل ولتاژ به فرکانس مبایشد به پالس هایی با عرض ثابت با چکالی متناسب با توان اندازه کیری شده بدل میگردد. این پالس ها پس از عبور از تقسیم کننده های لازم به دو قسم جیت یا باش ارسال میکردد:

- یک LED که جیت نست بر روی صفحه کنتور نصب میگردد.

- که اندازه توان در واحد زمان یا انرژی را نشان میدهد. این display میتواند بصورت مکانیکی . LED LCD باشد .

در حالت مکانیکی پالس ها به یک step - motor اعمال گردیده و سپس step - motor شارید: ای مکانیکی را به چرخش در می آورد . در نشان دهنده LED پالس ها توسط یک Counter شمرده شده و سپس به LCD نیز توسط یک driver قابل بر نمایش در LCD نمایش داده شد . هم اکنون اکثر کارخانجات سازنده کنتور در سراسر دنیا کنتورهای الکترونیک در اندازه و شکلهای گوناگون در کلاسهای دقت 0.2 S ، 0.5 S ، 1.0 S را نولید و به بازار عرضه نموده اند.

کوچکترین سایز کنتور الکترونیک توسط یک شرکت سوئیسی در اندازه های (mm³) 80x110x90 برای تکفاز و

- مقایسه کنترلهای الکترو مغناطیسی (فاراگس) و الکترونیکی

۳- مقایسه کنترلهای الکترو مغناطیسی (فاراگس) و الکترونیکی

- مهندسین جوان در کارخانجات کنترل سازی غایل زیادی به سیستمهاهای الکترونیک نشان می دهند و شمار متخصصین و علاقه مندان کنترلهای الکترو مغناطیسی بسرعت رویکارهای هستند یکونه ای که اگر متخصصین جوان صاحب تصمیم شوند بزودی سیستمهاهای الکترو مغناطیسی را به انبار فراموشی شرکتها منتقل می سازند.

- قیمت کنترلهای الکترونیک در مقایسه با کنترلهای الکترو مغناطیسی دو باره میباشد بنابراین تابع المان های ارزانتر برتری فیتم کنترلهای فاراگس تصمیم گیران صنعت کنترل سازی را با مشکل مواجه می نماید.

- طول عمر (Life time) و همچنین قابلیت اطمینان کنترلهای الکترو مغناطیسی بخوبی اثبات شده اند . کنترلهای الکترونیکی در این خصوص ادعای بیش از سایر ادوات مشابه نمی توانند داشته باشند در جدول زیر مقایسه ای در این خصوص صورت گرفته که کنترلهای فاراگس امتیازی بیش از آنچه حتی دستگاه کنترل کننده ضربان قلب دارد بدست آورده است .

نام دستگاه	فرخ خرابی در سال (Failure rate per year)	زمان کارکرد در طول سال Operating time	متوسط عمر خدمت
کنترلهای الکترو مغناطیسی	٪ ۰.۳	٪ ۱۰۰	بیشتر از ۳۰ سال
لوازم الکترونیکی خانگی	٪ ۲	٪ ۲۵	بیشتر از ۱۰ سال
ادوات الکترونیکی اتومبیل	٪ ۱	٪ ۲۰	بیشتر از ۱۰ سال
دستگاه کنترل کننده ضربان قلب	٪ ۰/۱۲	٪ ۱۰۰	بین ۵ تا ۱۰ سال
ادوات نظامی الکترونیکی	٪ ۰/۸	نامشخص	بیشتر از ۱۰ سال

جدول ۲-۲: مقایسه طول عمر لوازم الکترونیکی و الکترو مغناطیسی

- خطای کنترلهای الکترونیک خطی تر بوده و نسبت به کنترلهای الکترو مغناطیسی در شرایط کارکرد عادی ویژگی بهتری دارد لیکن پایداری این کنترلهای در مقابل دستگاری به اندازه کنترلهای فاراگس نیست .

- برگشت یزدیری و بازیافت کنترلهای الکترونیکی (پس از اقام طول عمر مفید) در مقایسه با کنترلهای فاراگس بسیار پائین نراست زیرا نجیره نشان داده است که تمام اجزاء کنترلهای الکترو مغناطیسی از قبیل فولاد ، آلومینیوم ، پلاستیک ها و ... پس قابل بازیافت هستند و حقی در بسیاری مواقع شستشو و تنظیم مجدد کنترلهای فاراگس طول عمری برابر یک کنترنور را نمیتوان تعضین کرد در حالیکه هنوز روشی برای بازیافت بخشهاهای الکترونیک اینداخ نشده اند خصوصاً که المان های جدید کارایی قدیمی را هر روز کمتر می نمایند بنابراین در صورتیکه در کشور ما نیز مقرراتی برای بازیافت و یا پس گیری محصولات فروخته شده پس از اقام طول عمر وضع گردد بازپس گیری کنترلهای فاراگس منبع در آمد و بازپس گیری کنترلهای الکترونیکی هزینه زا خواهد بود . و یا بعارت دیگر تولید کنترلهای فاراگس صدمات کتری را متوجه طبیعت خواهد ساخت .

- کنترلهای فاراگس ضمن قیمت پائین تر اشتغال زدایی بیشتری را دارند و این ویژگی تولید این کنترلهای را در کشورهای جهان سوم و منجمله ایران مقدتر جلوه می دهد .

- مواد اولیه عمدۀ کنترلر های فراریس را فولاد ، آلمینیوم ، پلاستیک ، مس و پرنج تشکیل میدهد . که در ایران در حال حاضر برای تولید کلیه آنها سرمایه گذاری شده است در حالیکه تولید المان های الکترونیک نظری LCD و میکروپررسور و غیره در آینده تزدیک در ایران متحمل نیست . فلتا تولید کنترلر های الکترونیک در ایران ارزش افزوده کمتر و ارزوی بیشتری خواهد داشت .

- کنترلر های فراریس بایستی از نظر ترازو شاگرد در موقعیت خاصی نصب گردد تا دقت لازم را داشته باشد در حالیکه کنترلر های الکترونیک را در هر وضعیت میتوان نصب کرد .

- اطلاعات سیستمهای الکترونیک در صورت خرابی بکلی محو یا دگرگون می شوند در حالیکه کنترلر های الکترومغناطیسی با شمارنده مکانیکی در صورت خرابی هم اطلاعات را تا حدودی حفظ می نمایند .

۴- نتیجه کلی

با توجه به مواردی که در بخش مقابله ذکر گردید کنترلر الکترونیک در بخش اندازه گیری و نگهداری اطلاعات نتوانسته از اعتبار ادوات مکانیکی برخوردار شود . سالها از شروع بکارگشان دهنده های LCD و LED می گذرد اما هنوز سهم بازار آنها از ۲۵٪ نجاواز نکرده است . این در حالی است که پیش بینی های اولیه خیر مرک آنالوگها در مدت زمان کوتاهی را می دادند اما در باره ای موارد حقیقی بازار بعد از آزمایش این محصولات مجدداً آنالوگ ها را ترجیح دادند . اما پذیرش مأموریت های زیاد توسط سیستم های الکترونیک در مواردی که ضرورت دارد میدان رقابتی برای مکانیزم های قدیمی باقی نگذاشته است . از طرف دیگر هم شکست بی در بی سنت گرهاها در مقابل صوح الکترونیک این باور را بوجود آورده که دفاع از کنترلر های الکترومغناطیسی هم نظری سایر موارد محکوم به شکست است . و این شهامت پایداری را از مدافعان کنترلر های فراریس سلب کرده است ولی کنترلر های الکترونیک عرضه شده تاکنون جایگزین مناسبی برای انواع الکترومغناطیسی نبستند مگر در آینده تحولی در المان های الکترونیک و قیمت آنها پدید آید .

با همه این ها کنترلر های الکترومغناطیسی با ویژگیهای طول عمر . قابلیت اطمینان و مأموریت پذیری (نعرفه و ماکسیمتر) حافظ برای ده سال آینده تولید و مصرف خواهد شد و از طرفی با توجه به امکانات و سرمایه گذاریهای وسیع گذشته در ایران برای تولید کنترلر های الکترومغناطیسی و رضایت نسبی مشتریان (شرکتهای توزیع و مردم) از تولیدات داخلی تجدید سرمایه گذاری برای تولید کنترلر های الکترونیک قبل از اثبات برتری آنها صرفه و صلاح ملی را در بر ندارد . هر چند شرکت کنترلر سازی ایران در حال تدوین دانش نوع الکترونیک کنترلر میباشد و در این راستا دست آوردهای قابل توجهی نیز داشته است .

۵- منابع

ELECTRICAL METER MEN' S HANDBOOK (PUBLISHED BY EDISON ELECTRIC INSTITUTE) -۱

METER MEN'S NOTEBOOK (LANDIS & GRY) -۲

-۳- جزویات آمرزشی دوره های لاندیس اند گلر

GENERAL ELECTRICAL ENGINEERING (AEG MANUAL 2) -۴

AMERICAN NATIONAL CODE FOR ELECTRICITY METERING -۵

HALL EFFECT DEVICES (ADAM HIGER) -۶